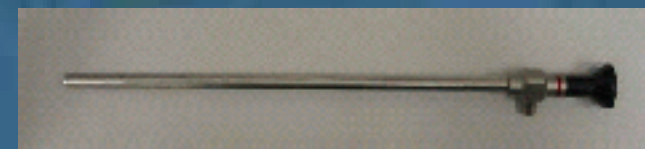
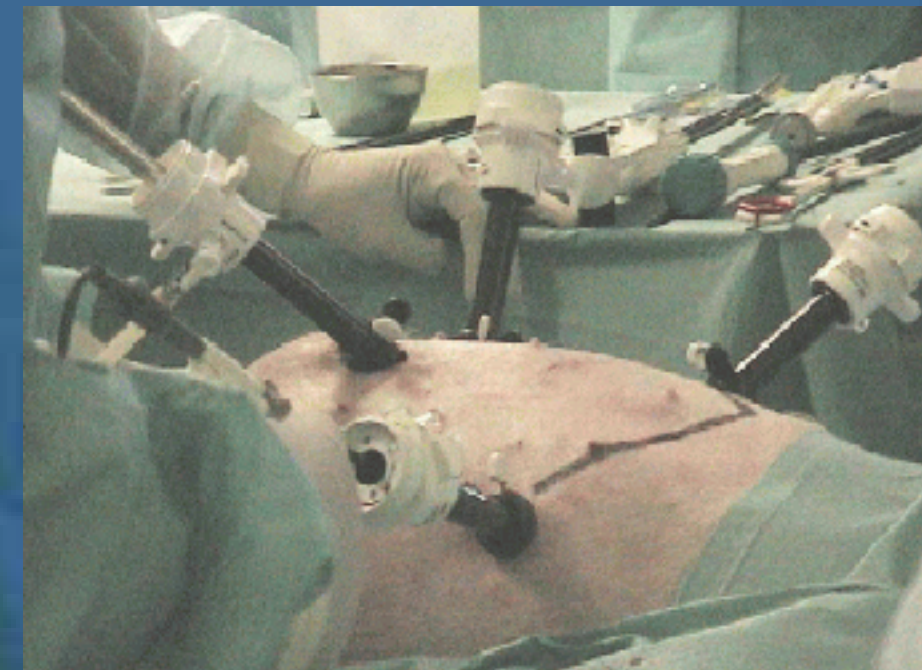


# Applications médicales

# 3. Applications médicales

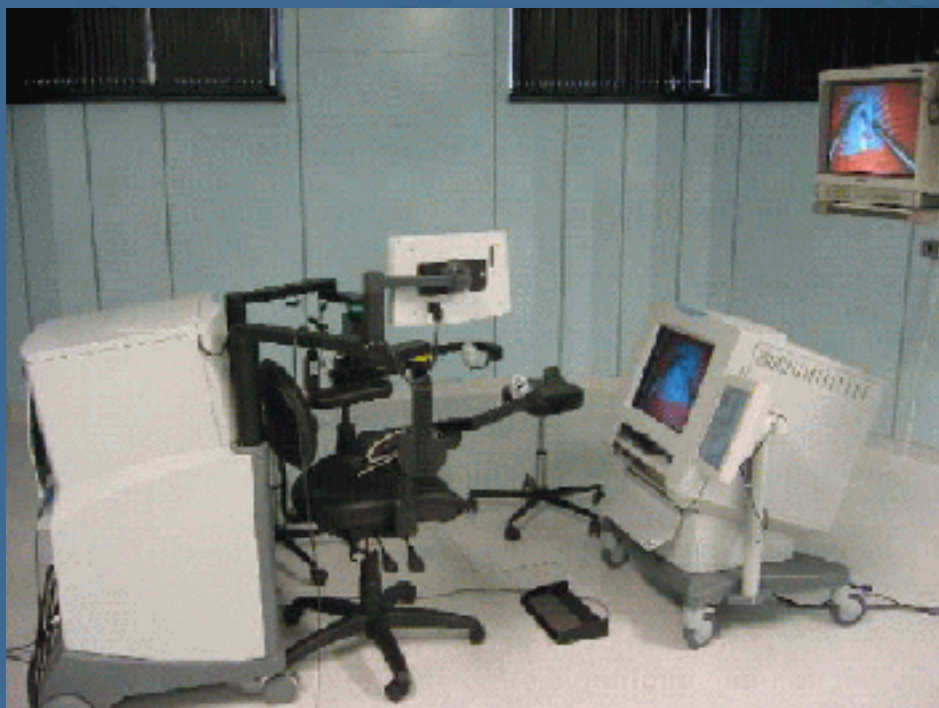
## 3.1. Introduction



# 3. Applications médicales

## 3.1. Introduction

Console maîtresse

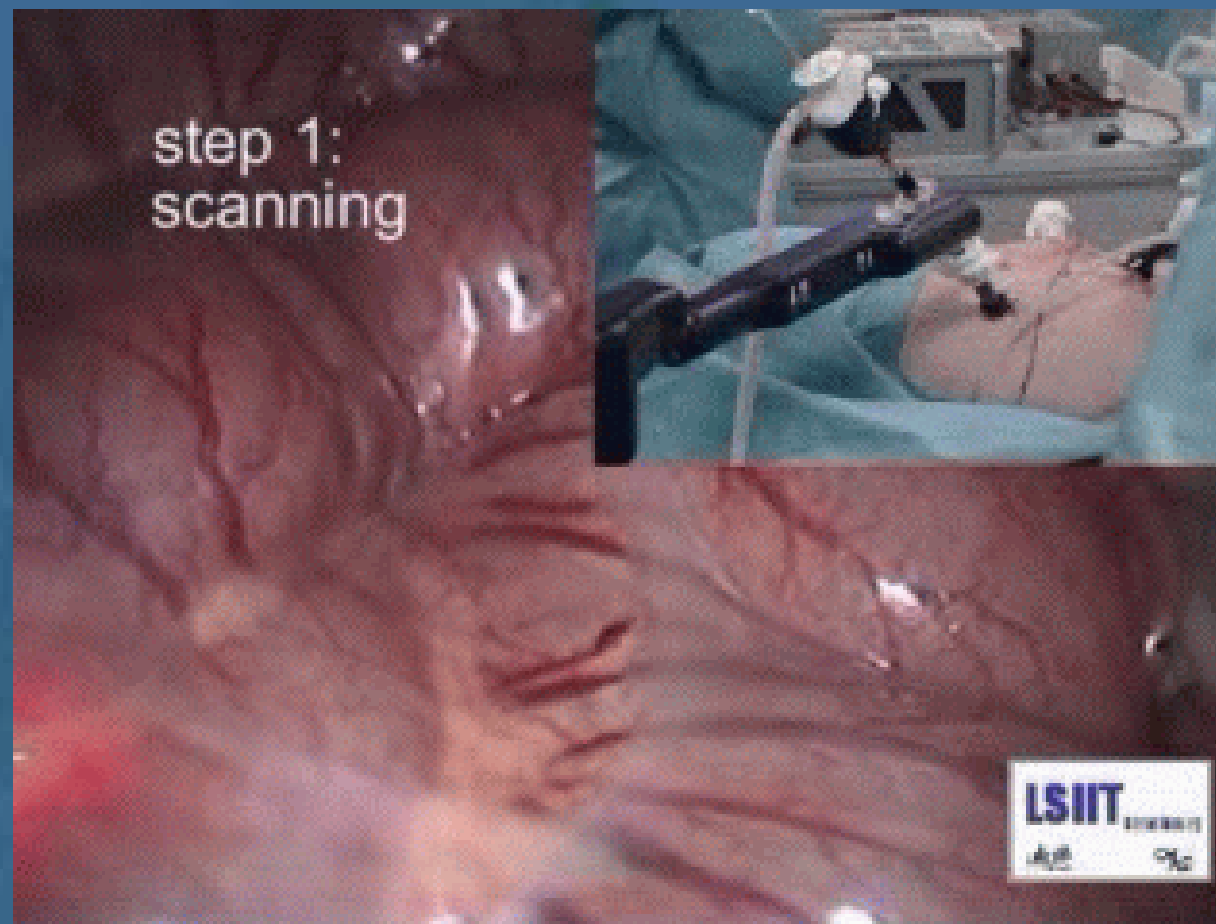


Robots esclaves



# 3. Applications médicales

## 3.2. Récupération automatique d'outil



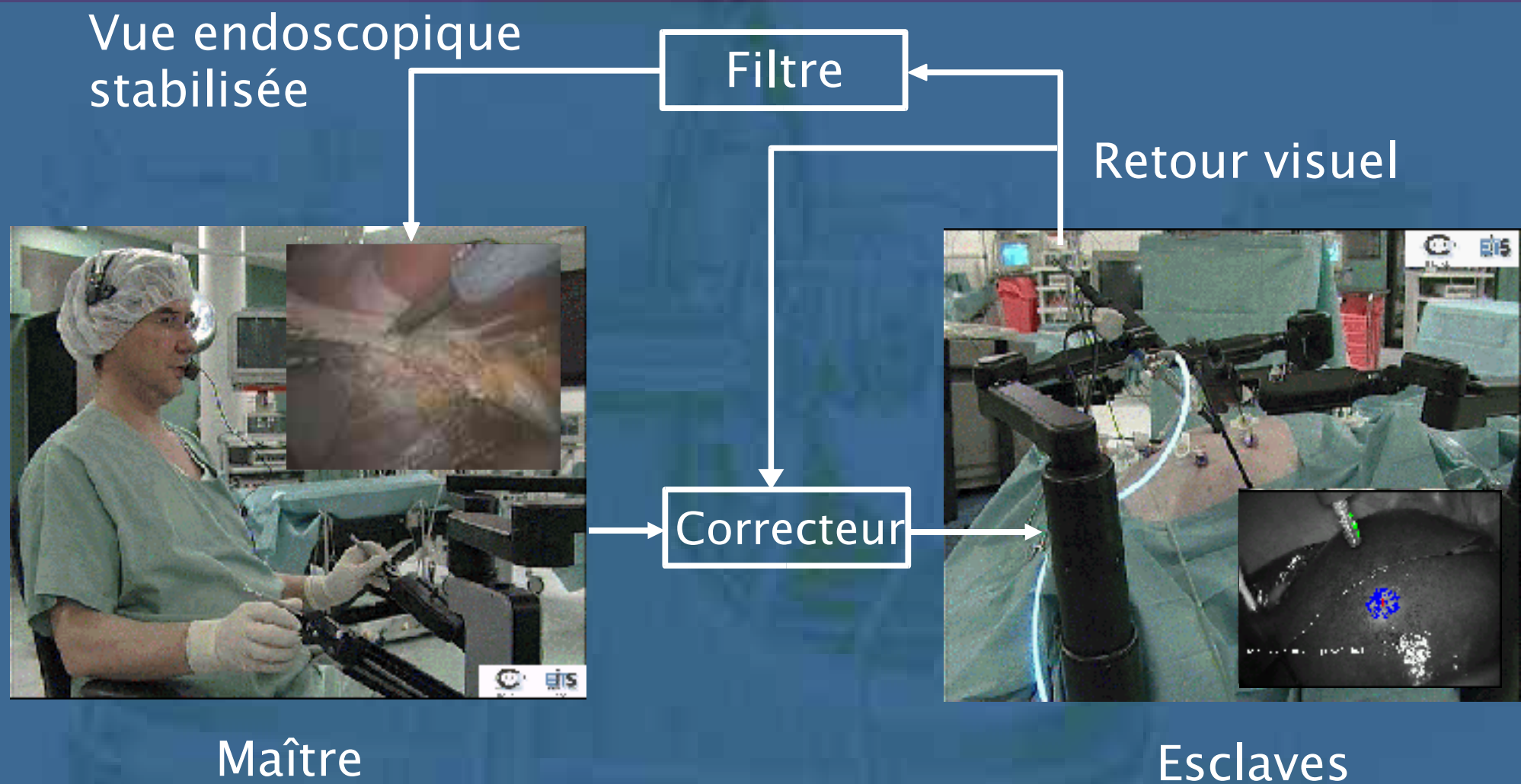
# 3. Applications médicales

## 3.3. Mouvements physiologiques

- 2 sources principales :
  - Respiration
  - Battement cardiaque
- Perturbation pour le chirurgien
- Solutions actuelles
  - Respiration : arrêter le respirateur
  - Coeur : arrêter le cœur, stabilisateur
- Futur : filtrage actif avec bras robotisé

# 3. Applications médicales

## 3.3. Mouvements physiologiques

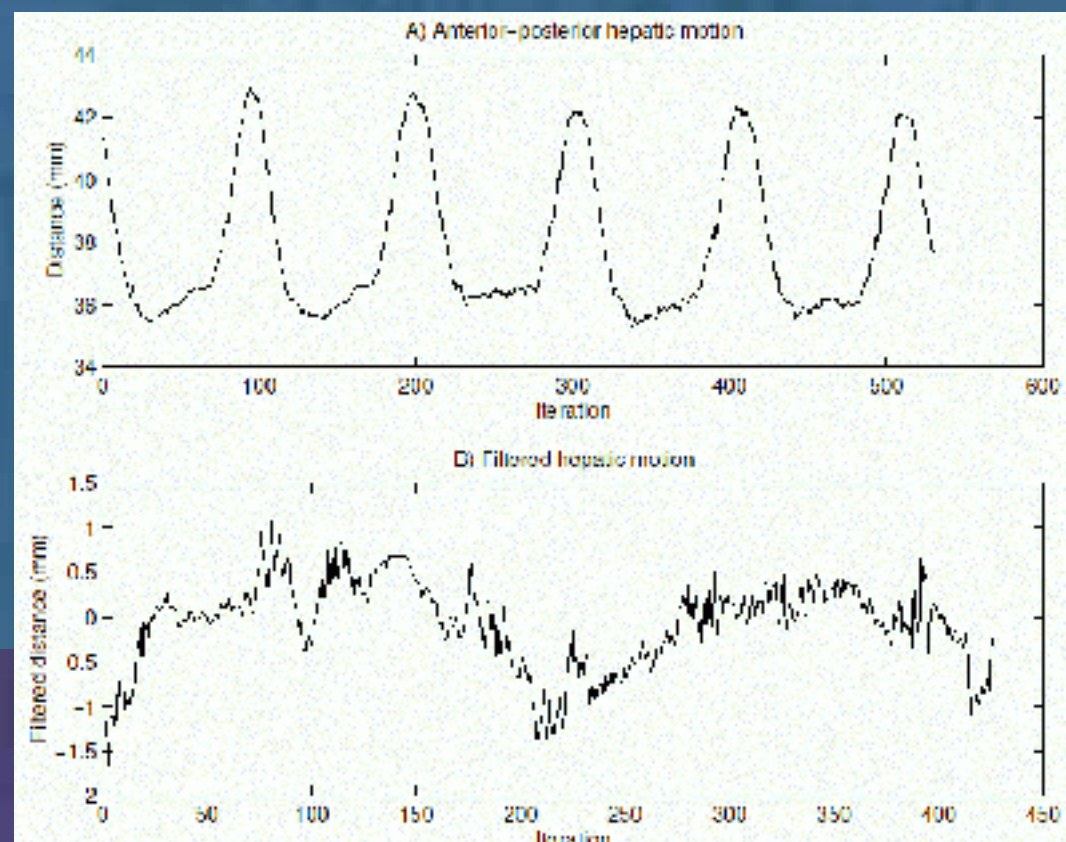


# 3. Applications médicales

## 3.3. Mouvements physiologiques – respiration

- Patient anesthésié + respiration artificielle :
  - Mouvements périodiques
  - Commande prédictive répétitive

Mouvement hépatique sur un porc anesthésié



# 3. Applications médicales

## 3.3. Mouvements physiologiques – respiration

Modèle ARIMAX répétitif :

$$Ay(t) = Bu(t-1) + \frac{C}{\Delta} \xi(t)$$

$$\Delta = (1 - q^{-1})(1 - \alpha q^{-T})$$

Avec :

T : nombre d'échantillons dans une période respiratoire.

Séparation des commandes :

$$u(t) = u_1(t) + u_2(t)$$

Équation du modèle interne :

$$y(t) = y_{th}(t) + \epsilon(t)$$

$$Ay_{th}(t) = Bu_1(t-1)$$

Équation de perturbation :

$$A\epsilon(t) = Bu_2(t-1) + \frac{C}{\Delta} \xi(t)$$

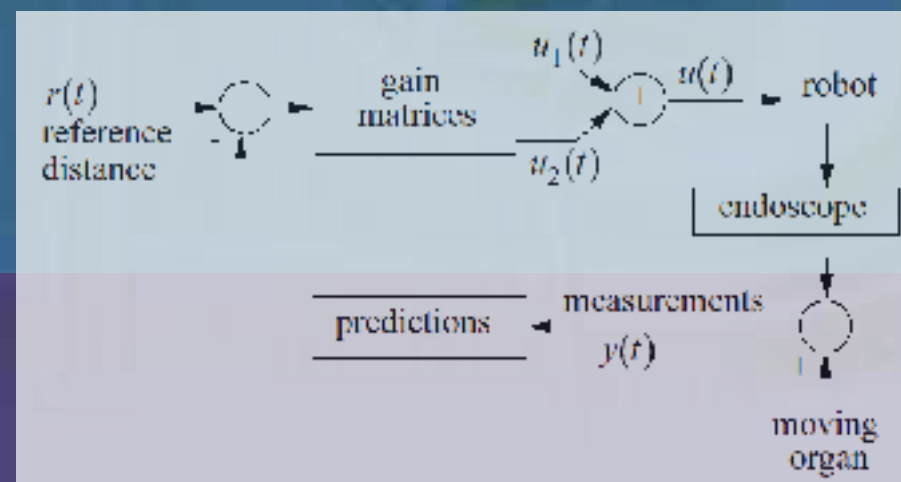
# 3. Applications médicales

## 3.3. Mouvements physiologiques – respiration

Minimisation de la fonction de coût :

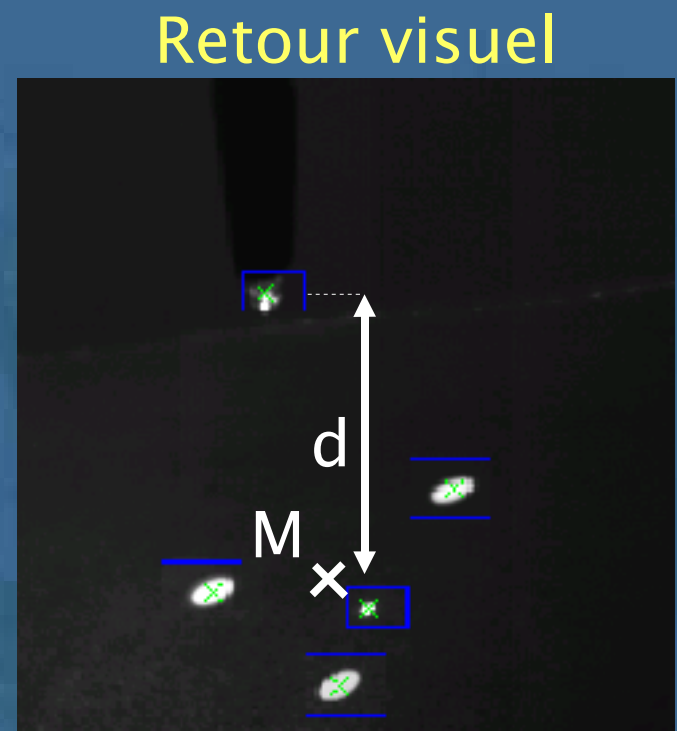
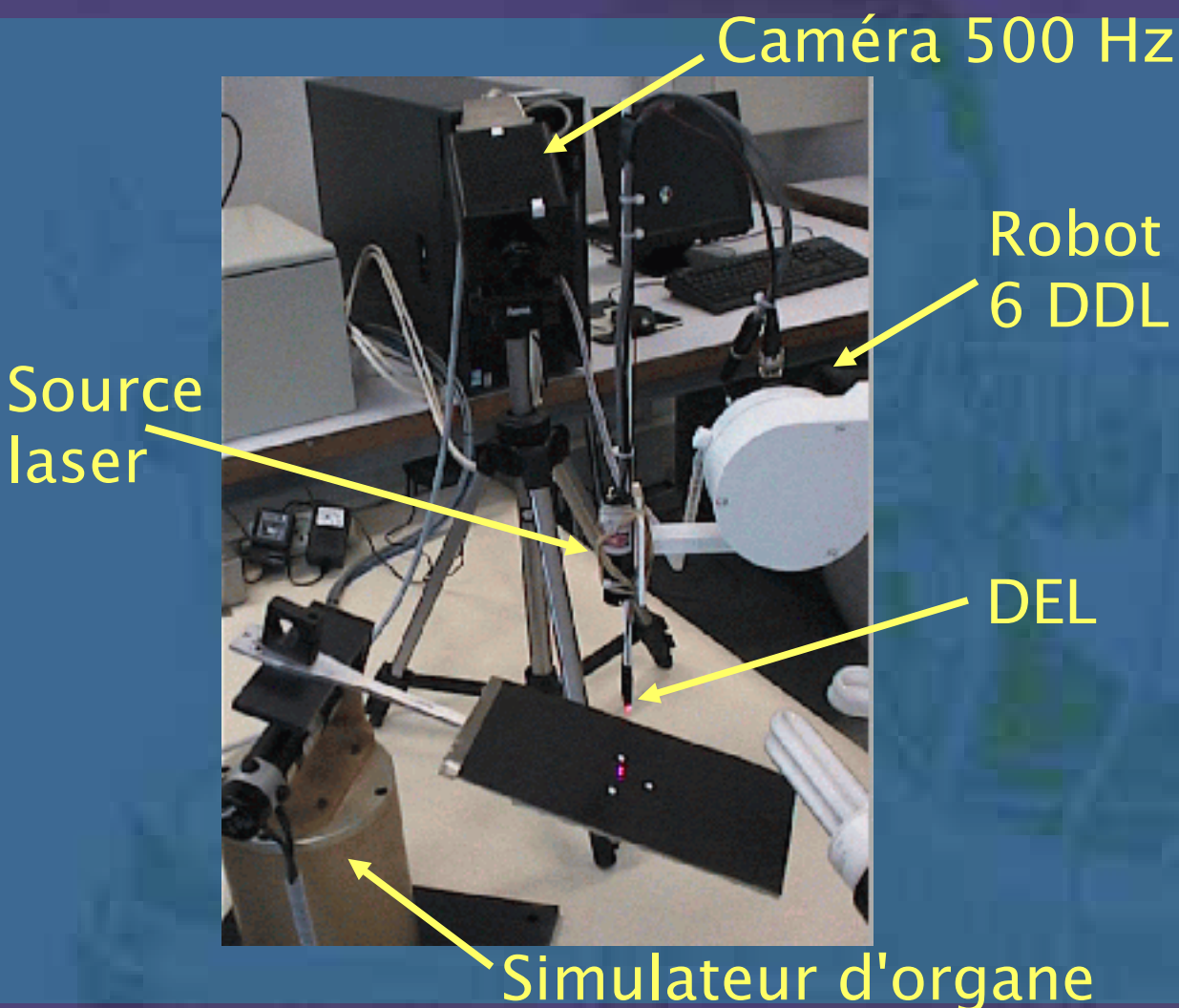
$$\begin{aligned}
 F(u = u_1 + u_2, t) = & \sum_{j=N_1}^{N_2} \|\hat{y}_{th}(t+j) - r(t+j)\|^2 \\
 & + \sum_{j=N_1}^{N_2} \|\hat{\epsilon}_{th}(t+j)\|^2 + \lambda \sum_{j=1}^{N_3} \|u_1(t+j-1) - u_1(t+j-2)\|^2 \\
 & + \mu \sum_{j=1}^{N_3} \|u_2(t+j-1) - u_2(t+j-2)\|^2
 \end{aligned}$$

Schéma-bloc :



# 3. Applications médicales

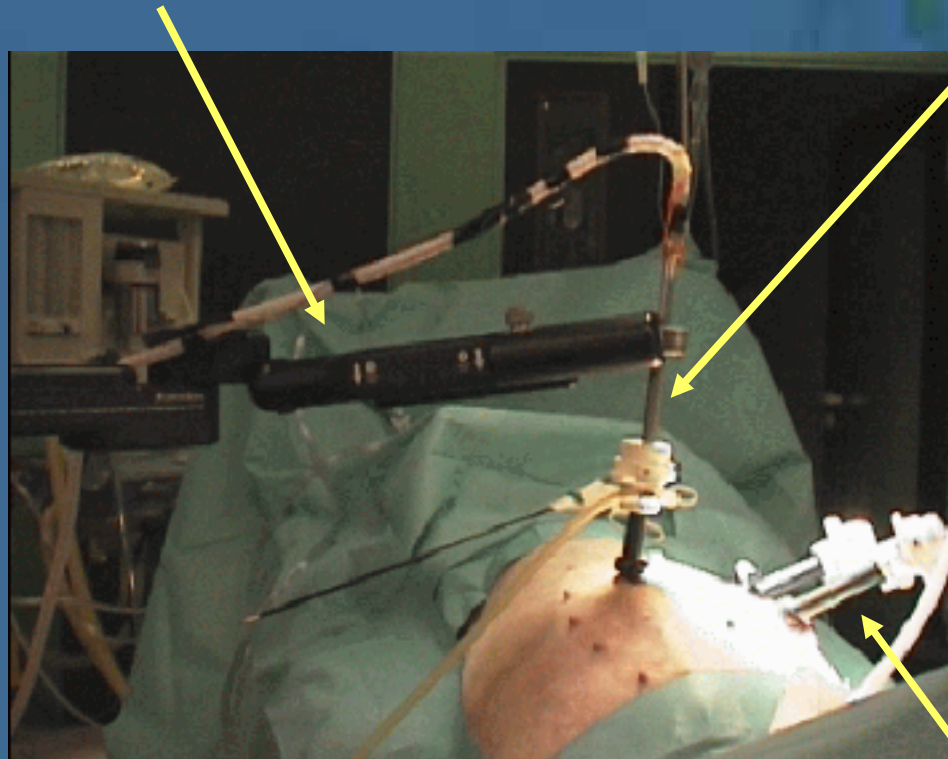
## 3.3. Mouvements physiologiques – respiration



# 3. Applications médicales

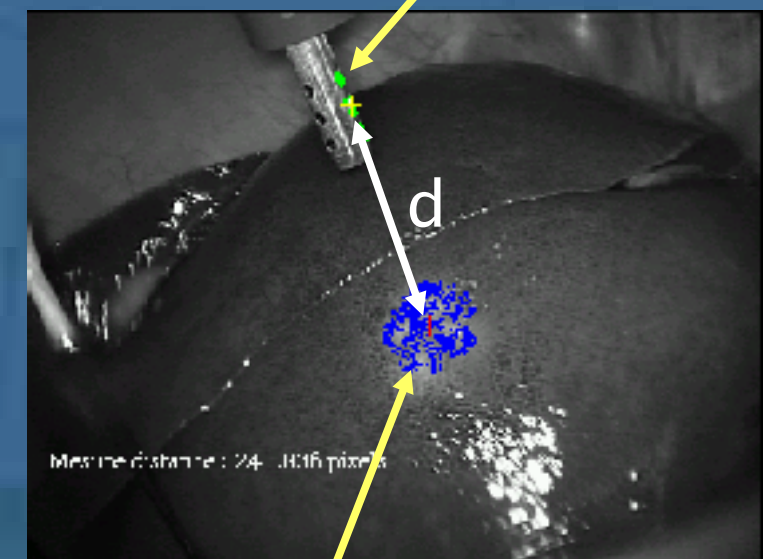
## 3.3. Mouvements physiologiques – respiration

Robot Aesop (computer motion)



Instrument

DELs

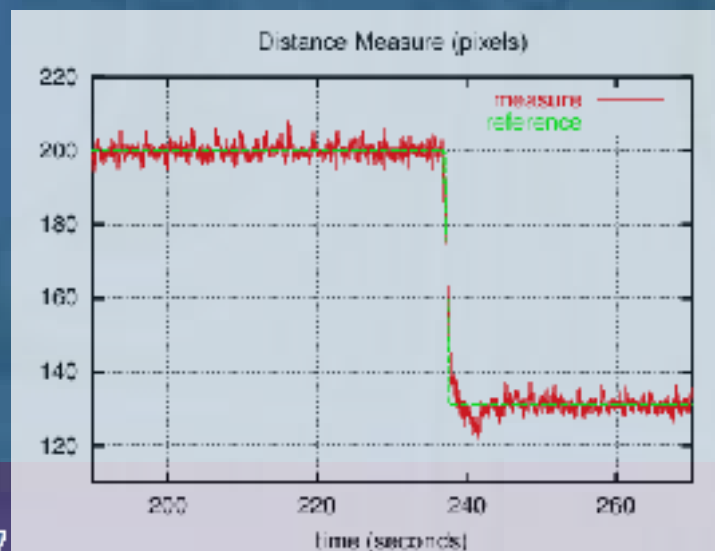
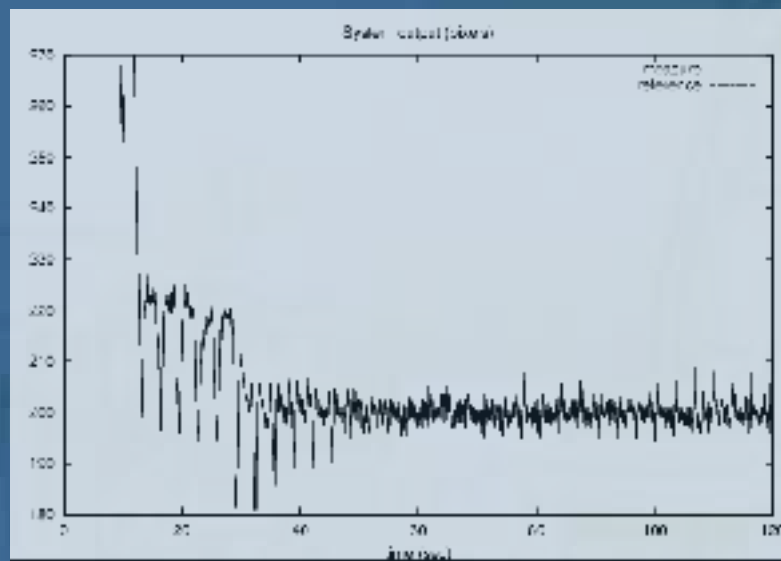


Trocart de l'endoscope

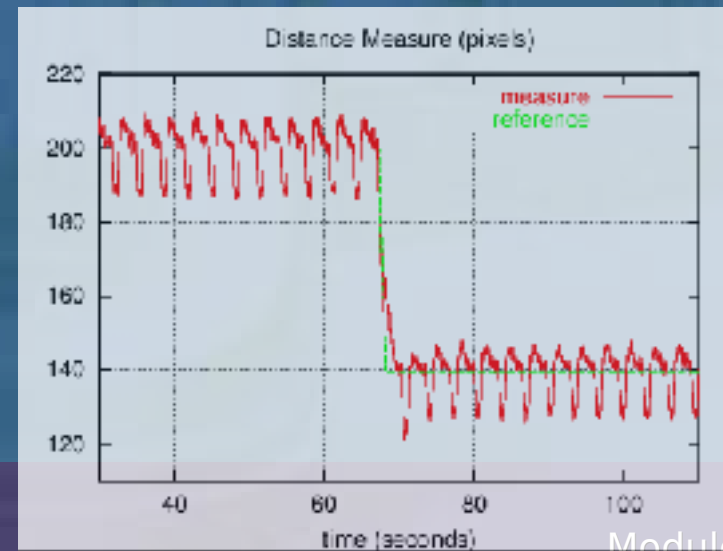
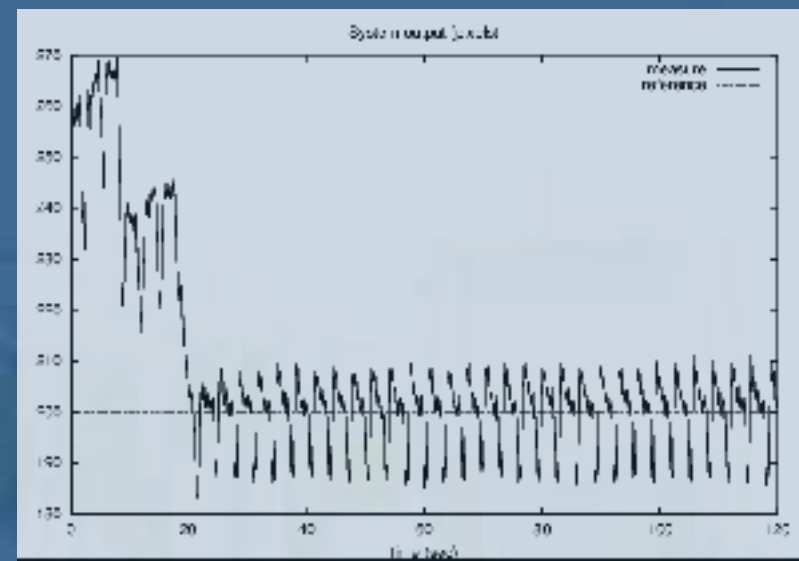
# 3. Applications médicales

## 3.3. Mouvements physiologiques – respiration

Commande répétitive



Commande standard



# 3. Applications médicales

## 3.3. Mouvements physiologiques – cœur



Medtronic  
Octopus 4.3

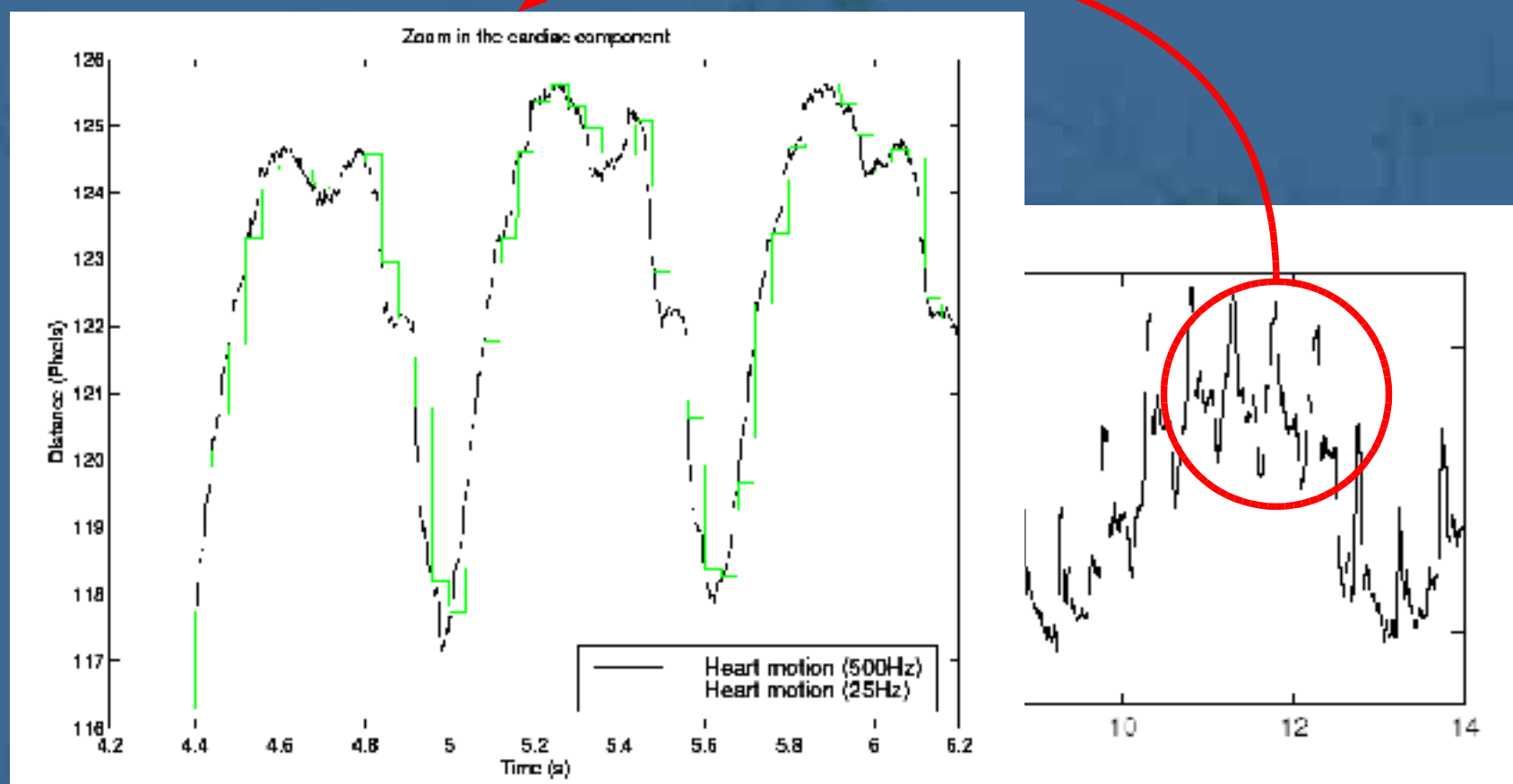
Octopus (medtronic) vs  
immobilizer (Genzyme)



# 3. Applications médicales

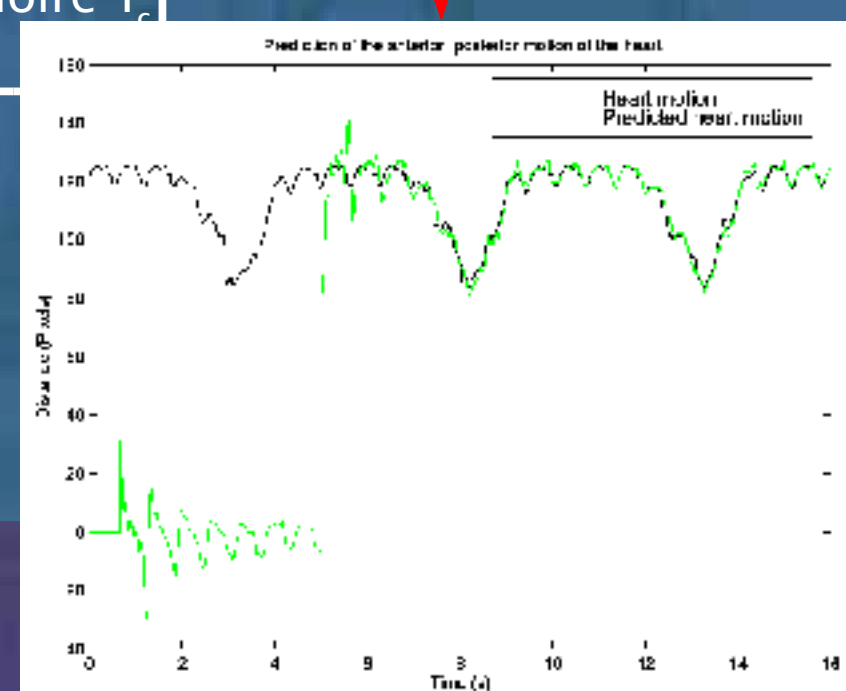
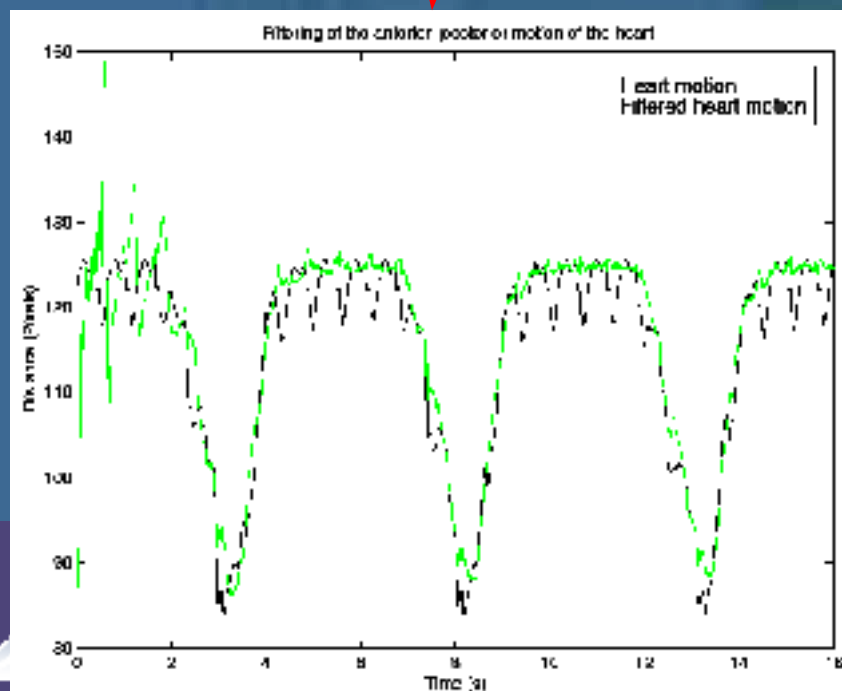
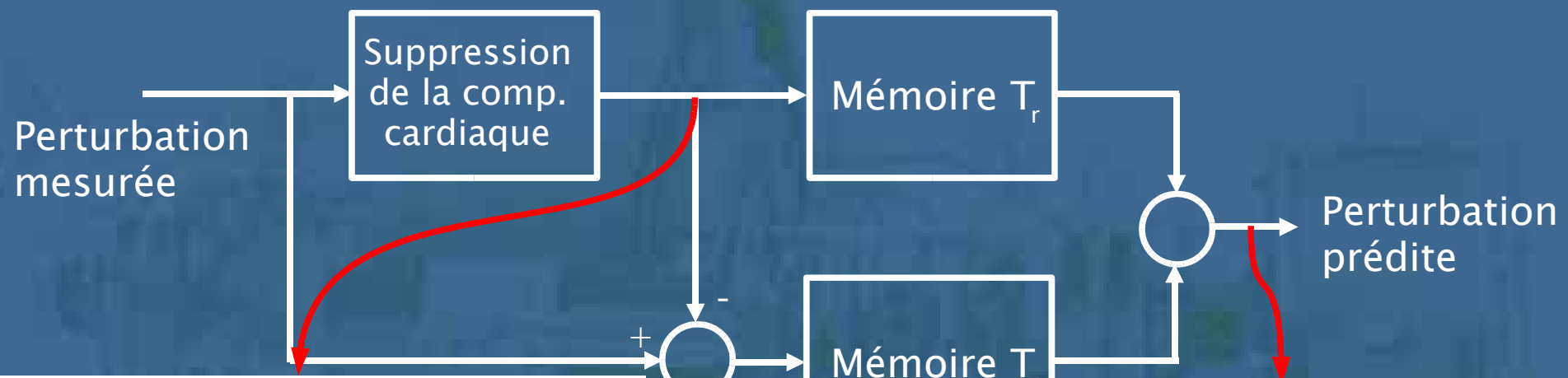
## 3.3. Mouvements physiologiques – cœur

- 2 composantes non-harmoniques :



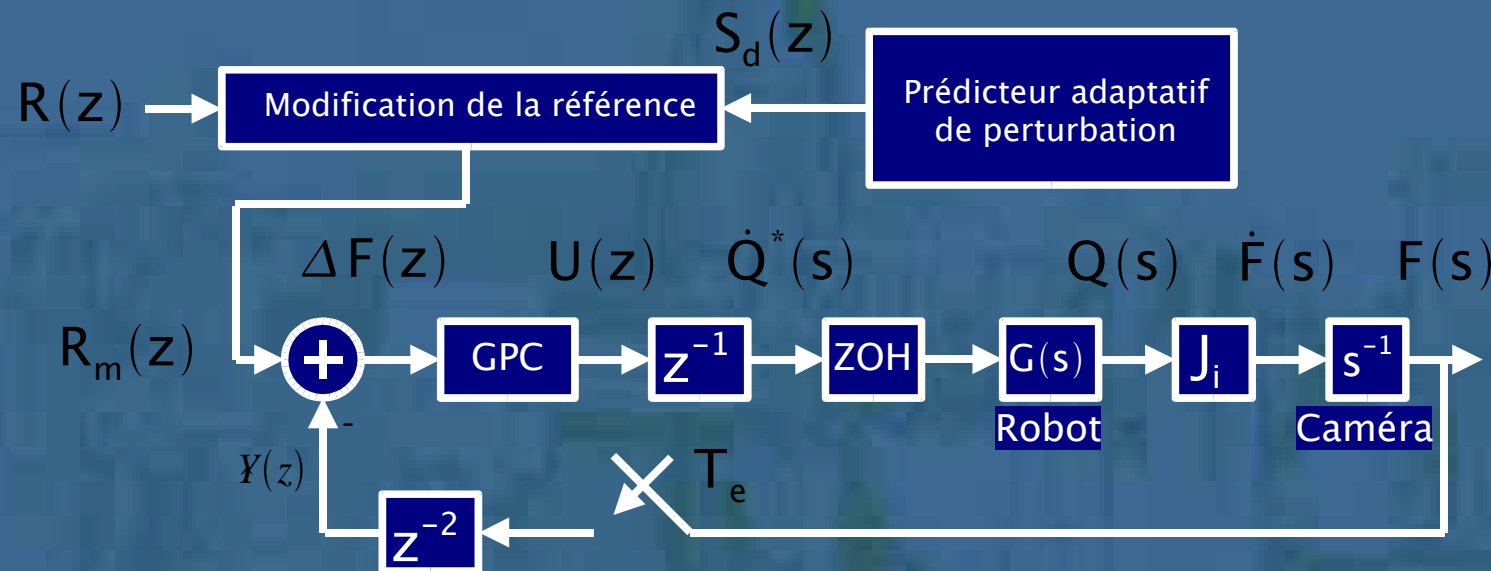
# 3. Applications médicales

## 3.3. Mouvements physiologiques – cœur



# 3. Applications médicales

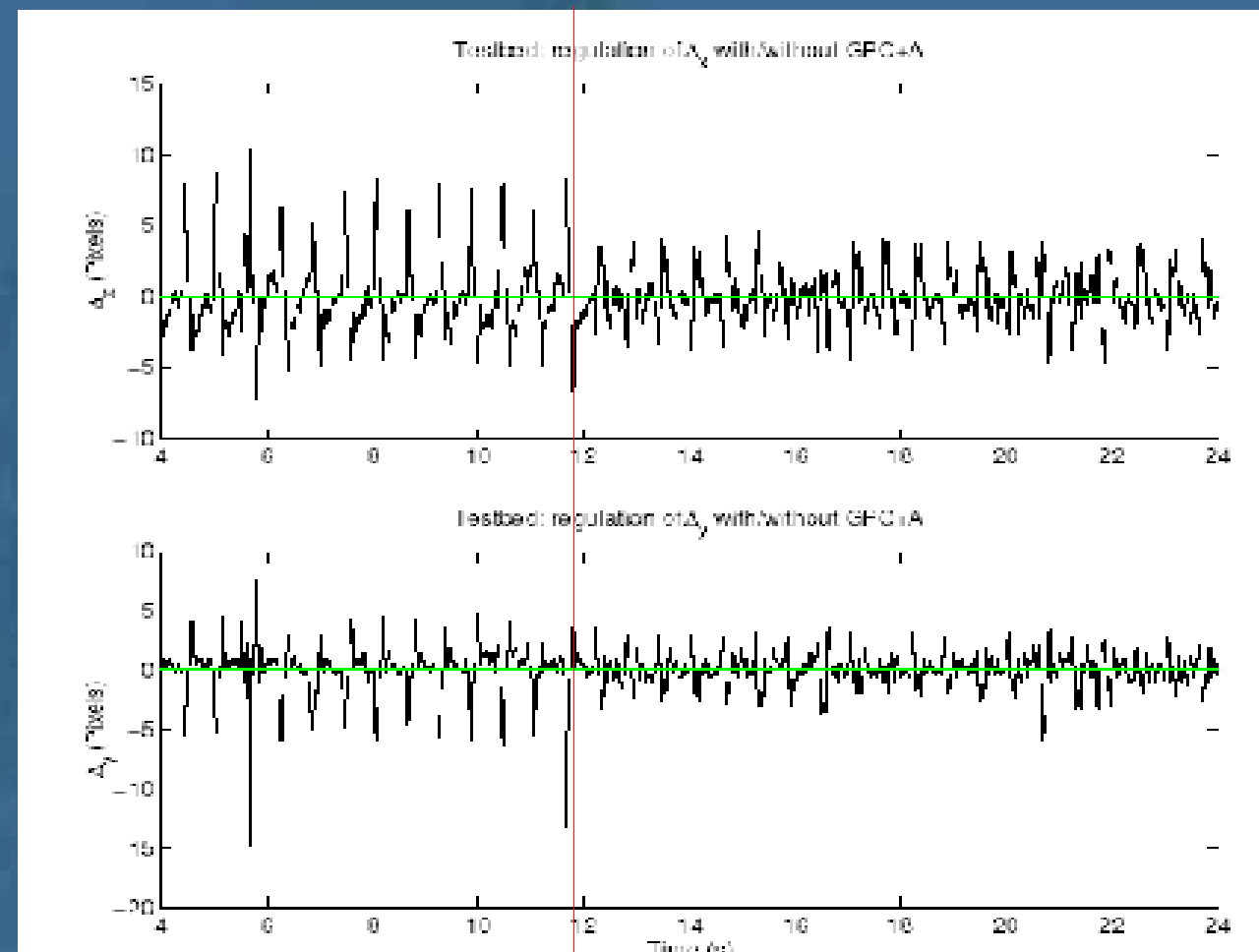
## 3.3. Mouvements physiologiques – cœur



$$\frac{\hat{Y}(z)}{U(z)} = z^{-3} Z \left( \frac{J_i G(s)}{s^2} \right)$$

# 3. Applications médicales

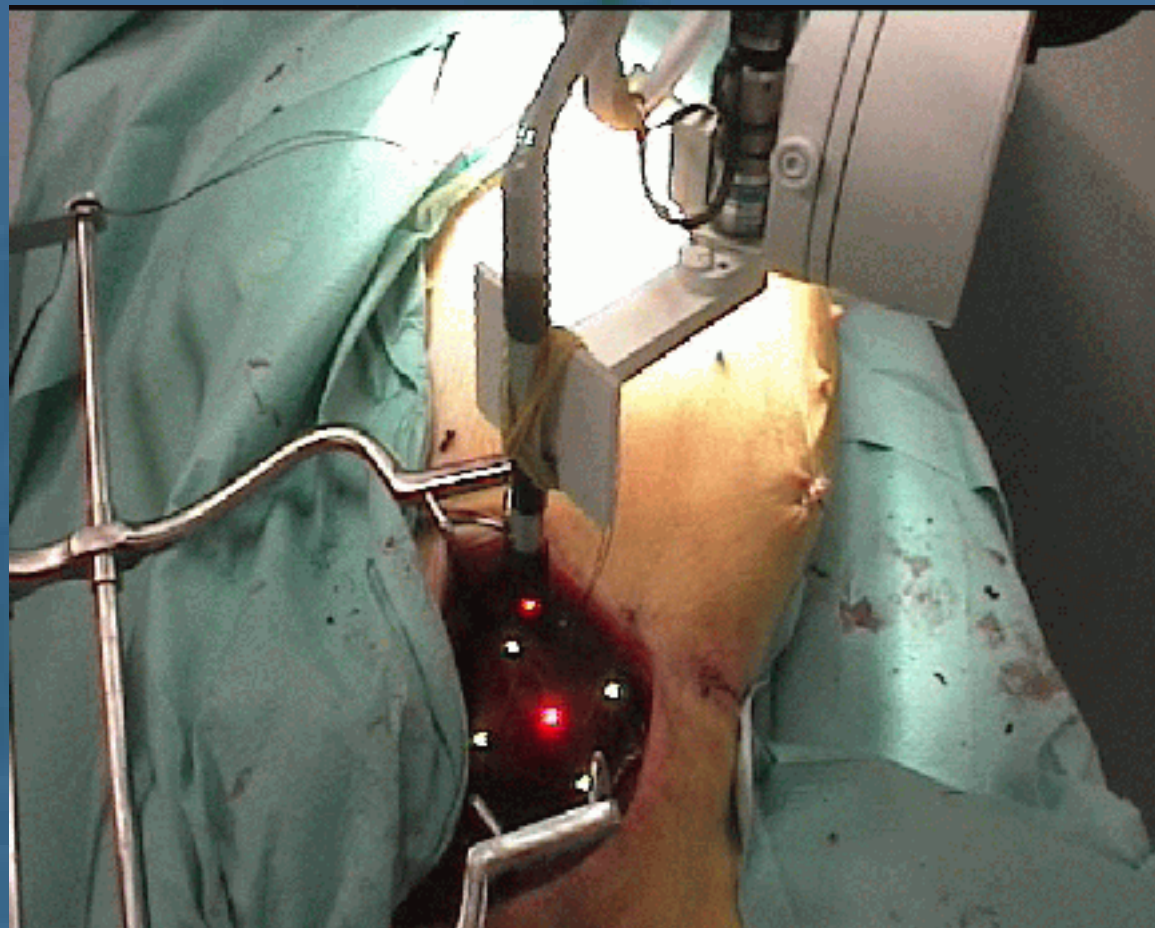
## 3.3. Mouvements physiologiques – cœur



Le prédicteur de perturbation est activé

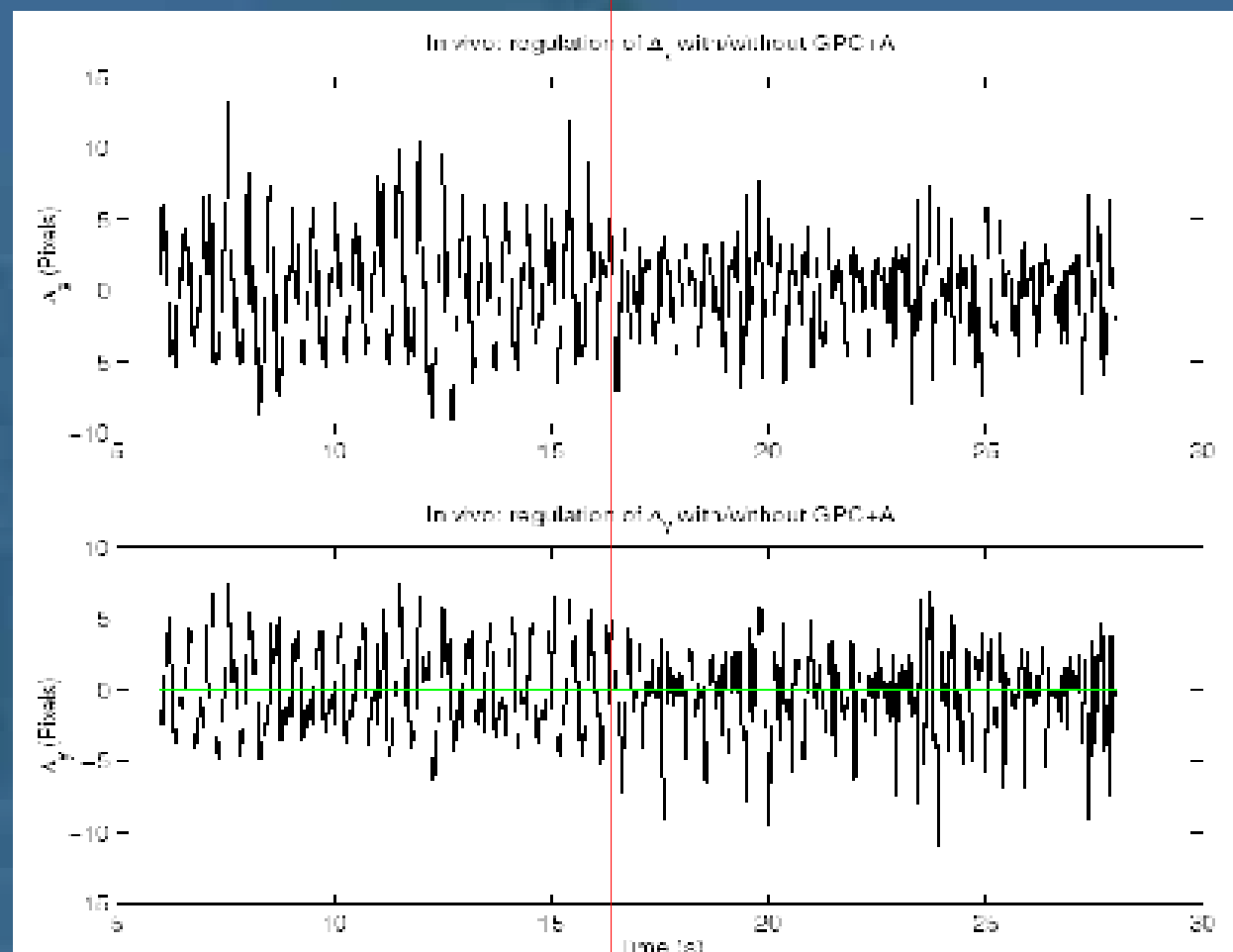
# 3. Applications médicales

## 3.3. Mouvements physiologiques – cœur



# 3. Applications médicales

## 3.3. Mouvements physiologiques – cœur



Le prédicteur de perturbation est activé

# Perspectives

# 4. Perspectives

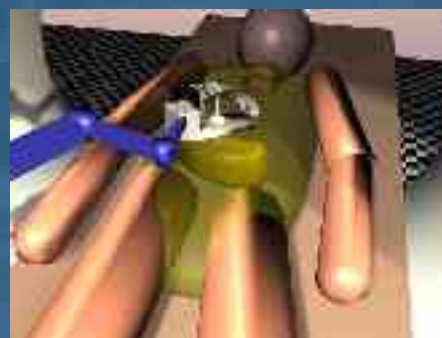
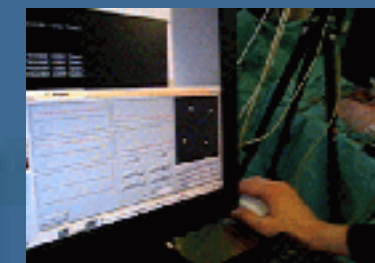
## 4.1. Asservissements visuels

- Asservissements visuels dynamiques
  - Amélioration du modèle flexible
  - Commande directe en couple
  - Commande non linéaire

# 4. Perspectives

## 4.2. Robotique médicale

- Chirurgie à cœur battant
  - Utilisation des signaux ECG + respirateur
  - Conception structure mécanique dédiée
- Insertion d'aiguille
  - Asservissement visuel sous imageur



Merci